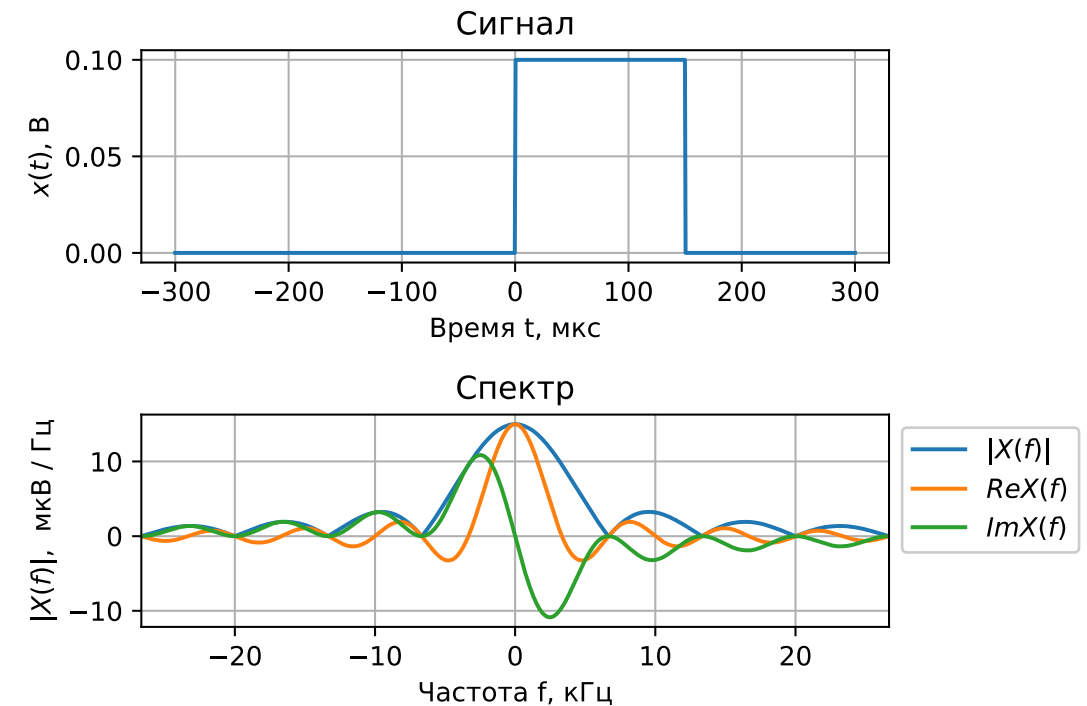


Лабораторная работа №1 «Дискретизация аналоговых сигналов»

Модуль 2. Спектры импульсных и периодических сигналов.

- Преобразование Фурье
- Свойства преобразования Фурье
- Спектры гармонических сигналов
- Спектры импульсных сигналов
- Спектр пачки равноотстоящих импульсов
- Частотные характеристики сигнала
- Свойства симметрии спектра реального сигнала



Преобразование Фурье

Все реальные сигналы имеют конечную удельную энергию:

$$\int_{-\infty}^{\infty} |x(t)|^2 dt < \infty.$$

Например, если $x(t)$ — напряжение (или ток), действующее на единичном сопротивлении, то интеграл представляет собой энергию, выделяемую на единичном сопротивлении, и эта энергия конечна. В этом случае $x(t)$ — функция с интегрируемым квадратом на всей оси. По теореме Планшереля для функции $x(t)$ существует функция $X(f)$ также с интегрируемым квадратом на всей оси, связанная с $x(t)$ соотношением:

$$\lim_{T \rightarrow \infty} \int_{-T}^T |X(f) - \int_{-T}^T x(t) e^{-j2\pi ft} dt|^2 df = 0.$$

Причем, если функции $x(t)$ и $X(f)$ абсолютно интегрируемы, то

$$X(f) = \int_{-\infty}^{\infty} x(t) \exp(-j2\pi ft) dt,$$

$$x(t) = \int_{-\infty}^{\infty} X(f) \exp(j2\pi ft) df.$$

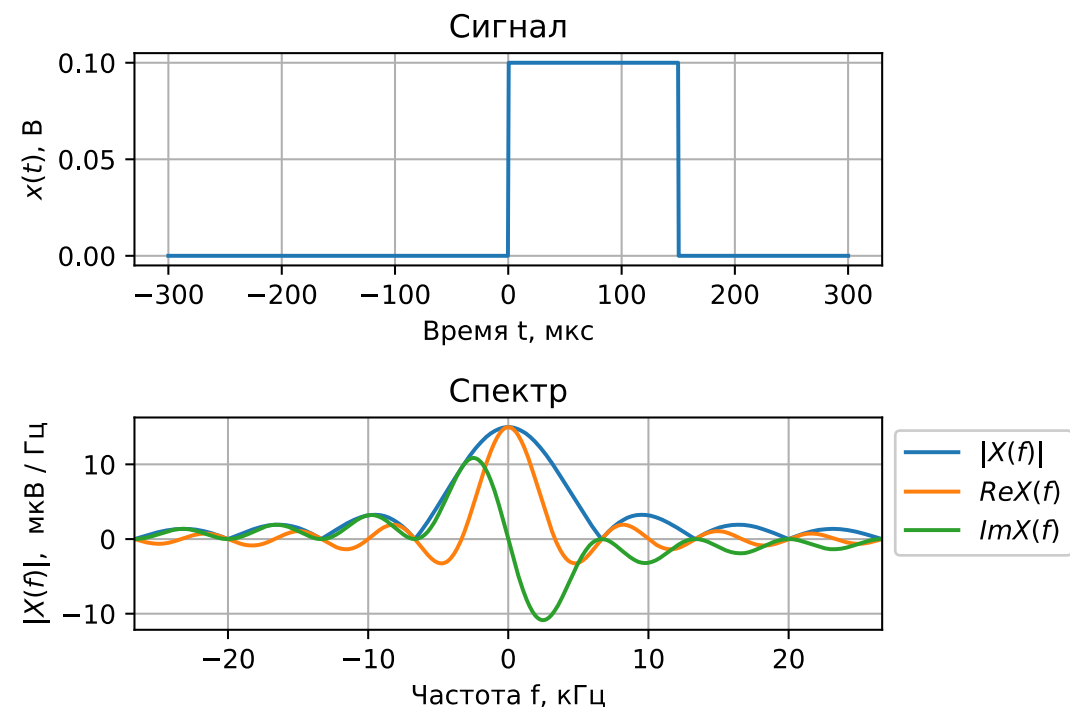
Эти формулы представляют собой пару преобразования Фурье (ФТ), где частота f измеряется в Герцах (Гц).

Для частоты циклической частоты $\omega = 2\pi f$, измеряемой в рад/с (радианы в секунду), пара преобразования Фурье имеет вид:

$$X(\omega) = \int_{-\infty}^{\infty} x(t) \exp(-j\omega t) dt,$$

$$x(t) = \frac{1}{2\pi} \int_{-\infty}^{\infty} X(\omega) \exp(j\omega t) d\omega.$$

Первый интеграл называется спектральной плотностью, а второй — интегралом Фурье.



Свойства преобразования Фурье

Далее будем использовать запись вида $x(t) \overset{FT}{\leftrightarrow} X(f)$, что означает, что для сигнала $x(t)$ преобразование Фурье будет $X(f)$. Предположим, что $x(t) \overset{FT}{\leftrightarrow} X(f)$ и $y(t) \overset{FT}{\leftrightarrow} Y(f)$. Тогда справедливы следующие свойства преобразования Фурье.

1. Свойство линейности.

Для заданных чисел $\alpha \in \mathbb{C}$ и $\beta \in \mathbb{C}$

$$\alpha x(t) + \beta y(t) \overset{FT}{\leftrightarrow} \alpha X(f) + \beta Y(f).$$

2. Теорема запаздывания.

Для заданной задержки по времени τ (или опережения в случае $\tau < 0$)

$$x(t - \tau) \overset{FT}{\leftrightarrow} \exp(-j2\pi f \tau) X(f).$$

3. Теорема смещения.

$$x(t) \exp(-j2\pi f_0 t) \overset{FT}{\leftrightarrow} X(f + f_0).$$

4. Теорема Парсеваля-Релея.

$$\int_{-\infty}^{\infty} x(t) y^*(t) dt = \int_{-\infty}^{\infty} X(f) Y^*(f) df.$$

Здесь «*» означает комплексное сопряжение.

5. Теорема о спектре произведения.

$$x(t) y(t) \overset{FT}{\leftrightarrow} X(f) \otimes Y(f),$$
$$x(t) y(t) \overset{FT}{\leftrightarrow} \int_{-\infty}^{\infty} X(\tilde{f}) Y(f - \tilde{f}) d\tilde{f}.$$

6. Теорема о спектре свертки.

$$x(t) \otimes y(t) \overset{FT}{\leftrightarrow} X(f) Y(f),$$
$$\int_{-\infty}^{\infty} x(\tau) y(t - \tau) d\tau \overset{FT}{\leftrightarrow} X(f) Y(f).$$

7. Теорема об изменении масштаба.

$$x(at) \overset{FT}{\leftrightarrow} \frac{1}{a} X\left(\frac{f}{a}\right).$$

8. Теорема о спектре производной.

$$\frac{dx(t)}{dt} \overset{FT}{\leftrightarrow} j2\pi f X(f).$$

9. Теорема о производной спектра:

$$t \cdot x(t) \overset{FT}{\leftrightarrow} \frac{1}{j2\pi} \frac{dX(f)}{df}.$$

Напоминание про дельта-функцию

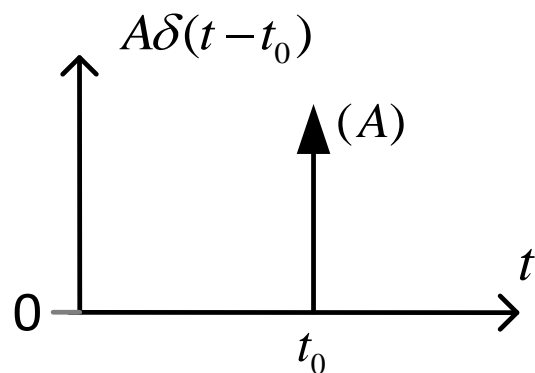
Напоминание про дельта-функцию

Для дельта-функции справедливо соотношение

$$\int_{t_0-\varepsilon}^{t_0+\varepsilon} \delta(t-t_0) dt = 1 \quad \forall \varepsilon > 0.$$

Рассмотрим сигнал $y(t) = A\delta(t-t_0)$, $A \in \mathbb{C}$. Это дельта-функция в точке t_0 оси времени. Площадь под графиком

$$\int_{t_0-\varepsilon}^{t_0+\varepsilon} A\delta(t-t_0) dt = A \quad \forall \varepsilon > 0.$$



Предположим, что дельта-функция интегрируема по интервалу $(-\infty, t)$. Тогда

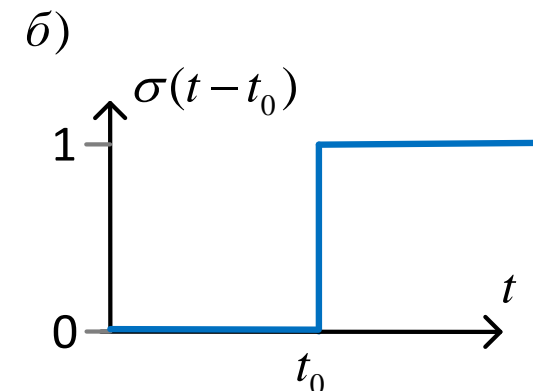
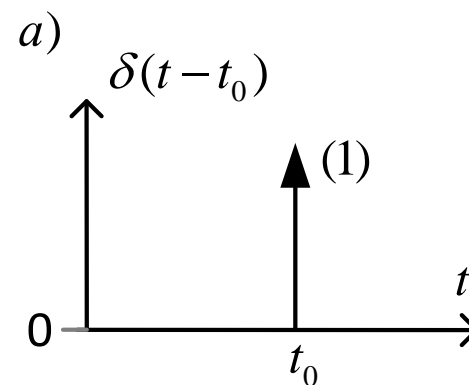
$$\int_{-\infty}^t \delta(\tau-t_0) d\tau = \sigma(t-t_0),$$

где $\sigma(t-t_0)$ – функция единичного скачка или функция Хевисайда:

$$\sigma(t-t_0) = \begin{cases} 0 & \text{при } t < t_0, \\ 1/2 & \text{при } t = t_0, \\ 1 & \text{при } t > t_0. \end{cases}$$

Функция единичного скачка является интегралом от дельта-функции, а значит

$$\sigma'(t-t_0) = \delta(t-t_0).$$



a – дельта-функция, b – функция единичного скачка

Напоминание про дельта-функцию

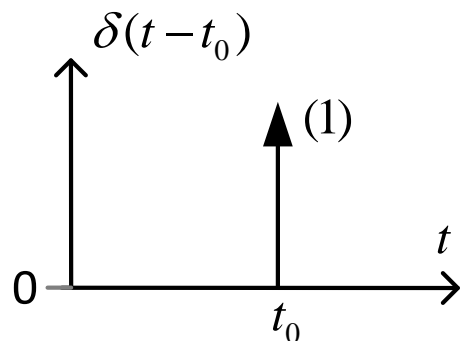
Фильтрующее свойство дельта-функции: её свёртка с любой ограниченной и непрерывной в точке t_0 функцией $x(t)$ равна

$$\int_a^b x(t) \delta(t - t_0) dt = \begin{cases} x(t_0), & a < t_0 < b, \\ (1/2)x(t_0), & t_0 = a \text{ или } t_0 = b, \\ 0, & t_0 < a, \quad t_0 > b. \end{cases}$$

Если функция $x(t)$ в точке $t = t_0$ имеет разрыв первого рода, то

$$\int_a^b x(t) \delta(t - t_0) dt = (1/2)[x(t_{0+}) + x(t_{0-})], \quad a < t_0 < b,$$

где $x(t_{0+})$ и $x(t_{0-})$ – значения $x(t)$ справа и слева от точки разрыва.



Если a – действительная величина, то выполняются следующие равенства:

$$\int_{-\infty}^{\infty} x(t) \delta(t - a) dt = x(a),$$

$$x(t) \cdot \delta(t - a) = x(a) \cdot \delta(t - a),$$

$$\delta[(t - t_0) / a] = |a| \delta(t - t_0),$$

$$\delta(at - t_0) = \frac{1}{|a|} \delta(t - \frac{t_0}{a}).$$

Спектр дельта-функции

Используя преобразование Фурье, находим, что

$$\int_{-\infty}^{\infty} \delta(t) e^{-j2\pi f t} dt = e^0 = 1,$$

т. е. спектр дельта-функции постоянен на всех частотах:

$$\delta(t) \overset{FT}{\leftrightarrow} 1.$$

Спектры гармонических сигналов

Спектры гармонических сигналов.

Вычислим обратное преобразование Фурье для $X(f) = \delta(f - f_0)$, т.е. от дельта-функции в точке f_0 оси частот.

$$x(t) = \int_{-\infty}^{\infty} X(f) \exp(j2\pi f t) df = \int_{-\infty}^{\infty} \delta(f - f_0) \exp(j2\pi f t) df.$$

$$x(t) = \exp(j2\pi f_0 t).$$

Тогда с учетом того, что

$$\cos(2\pi f_0 t) = \frac{\exp(j2\pi f_0 t) + \exp(-j2\pi f_0 t)}{2},$$

$$\sin(2\pi f_0 t) = \frac{\exp(j2\pi f_0 t) - \exp(-j2\pi f_0 t)}{2j}.$$

получаем

$$1 \overset{FT}{\leftrightarrow} \delta(f),$$

$$\exp(j2\pi f_0 t) \overset{FT}{\leftrightarrow} \delta(f - f_0),$$

$$\cos(2\pi f_0 t) \overset{FT}{\leftrightarrow} \frac{1}{2} \delta(f - f_0) + \frac{1}{2} \delta(f + f_0),$$

$$\sin(2\pi f_0 t) \overset{FT}{\leftrightarrow} \frac{1}{2j} \delta(f - f_0) - \frac{1}{2j} \delta(f + f_0).$$

Пример. Определить спектр $X(f)$ гармонического сигнала

$$x(t) = \cos(2\pi f_1 t) + 3\cos(2\pi f_2 t)$$

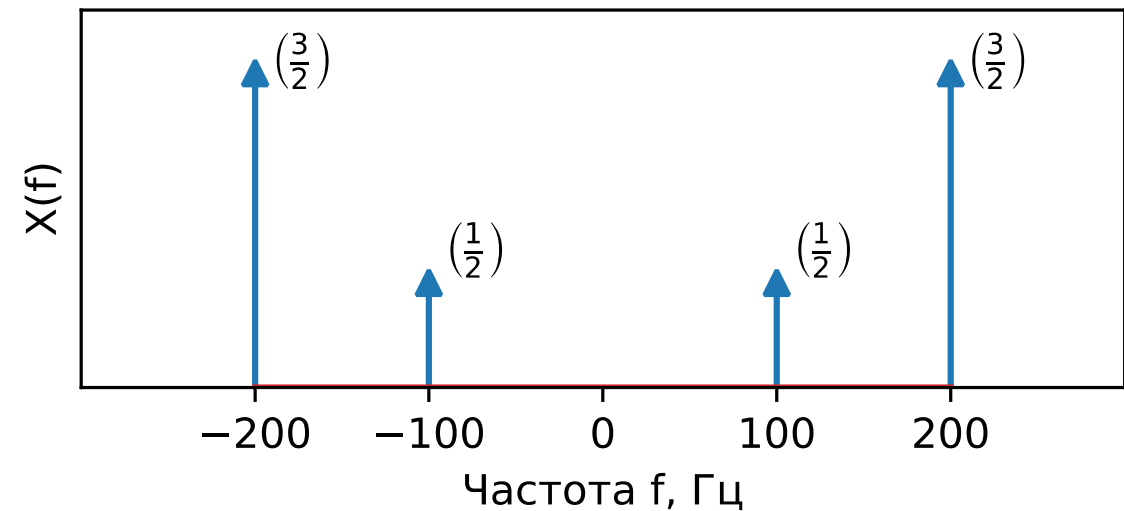
где $f_1 = 100$ Гц, $f_2 = 200$ Гц.

Решение. По свойствам преобразования Фурье

$$\cos(2\pi f_0 t) \overset{FT}{\leftrightarrow} \frac{1}{2} \delta(f - f_0) + \frac{1}{2} \delta(f + f_0).$$

Тогда по свойству линейности преобразования Фурье

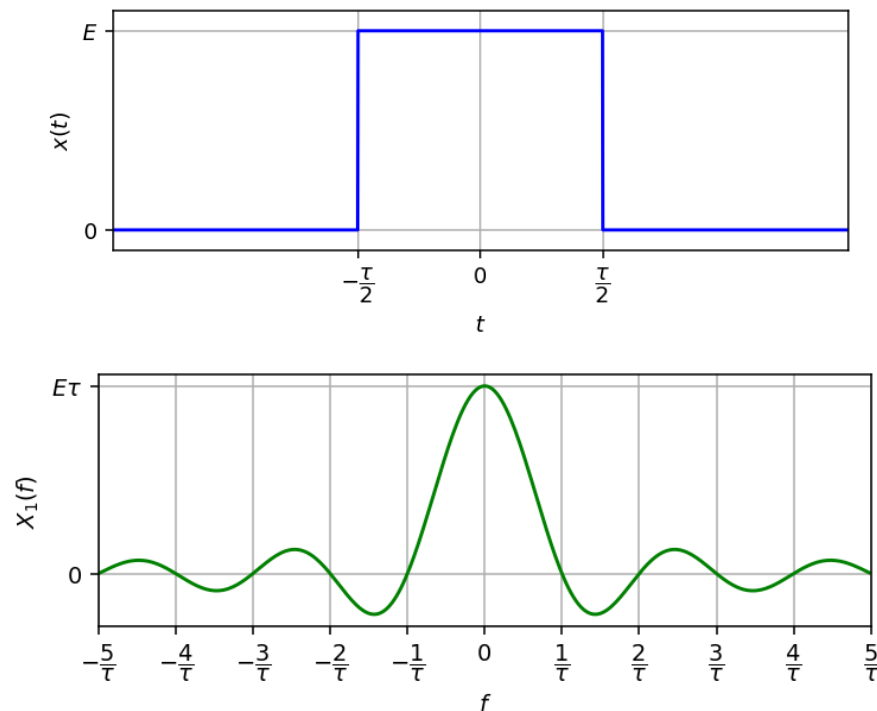
$$X(f) = \frac{1}{2} \delta(f - f_1) + \frac{1}{2} \delta(f + f_1) + \frac{3}{2} \delta(f - f_2) + \frac{3}{2} \delta(f + f_2)$$



Симметричные прямоугольный и треугольный импульсы

Симметричный прямоугольный импульс длительностью τ .

$$x_1(t) = \begin{cases} E, & \text{если } |t| < \tau/2, \\ 0, & \text{если } |t| \geq \tau/2. \end{cases}$$

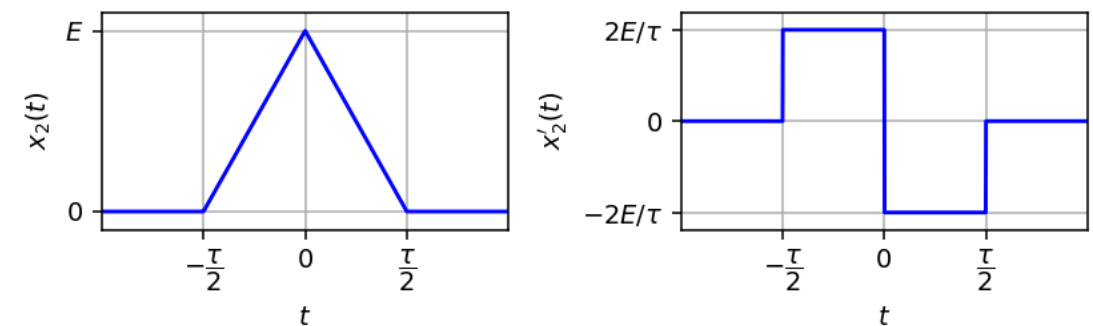


Спектр находим с помощью формулы преобразования Фурье:

$$\begin{aligned} X_1(f) &= \int_{-\infty}^{\infty} x_1(t) \exp(-j2\pi f t) dt = \int_{-\tau/2}^{\tau/2} E \exp(-j2\pi f t) dt = \\ &= \frac{E}{-j2\pi f} \exp(-j2\pi f t) \Big|_{-\tau/2}^{\tau/2} = E \frac{\sin(\pi f \tau)}{\pi f} = E\tau \frac{\sin(\pi f \tau)}{\pi f \tau}. \end{aligned}$$

Симметричный треугольный импульс длительностью τ .

$$x_2(t) = \begin{cases} E \left(1 - \frac{2|t|}{\tau}\right), & \text{если } |t| < \tau/2, \\ 0, & \text{если } |t| \geq \tau/2. \end{cases}$$



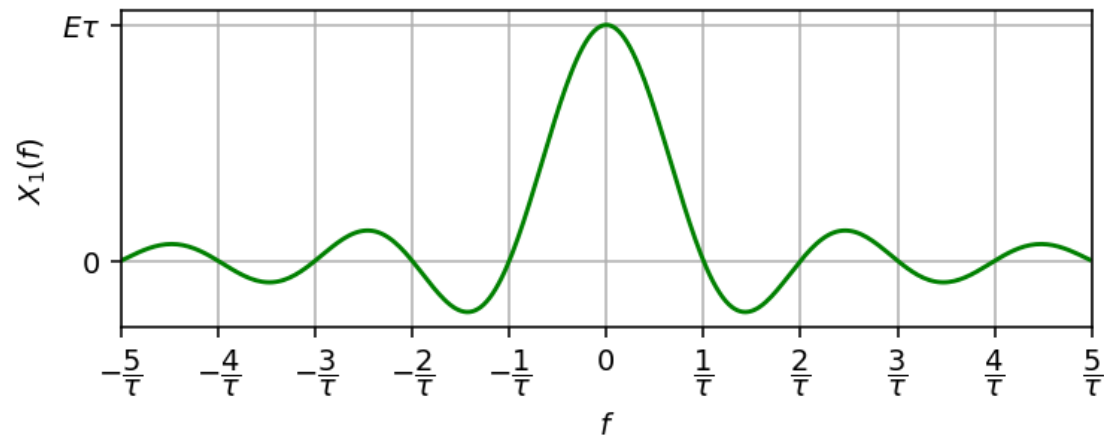
1) Теорема о спектре производной: если $x_2(t) \xleftrightarrow{FT} X_2(f)$, то $\frac{dx_2(t)}{dt} \xleftrightarrow{FT} j2\pi f X_2(f)$.

2) Теорема запаздывания: если $x(t) \xleftrightarrow{FT} X(f)$, то $x(t - \tau) \xleftrightarrow{FT} \exp(-j2\pi f \tau) X(f)$.

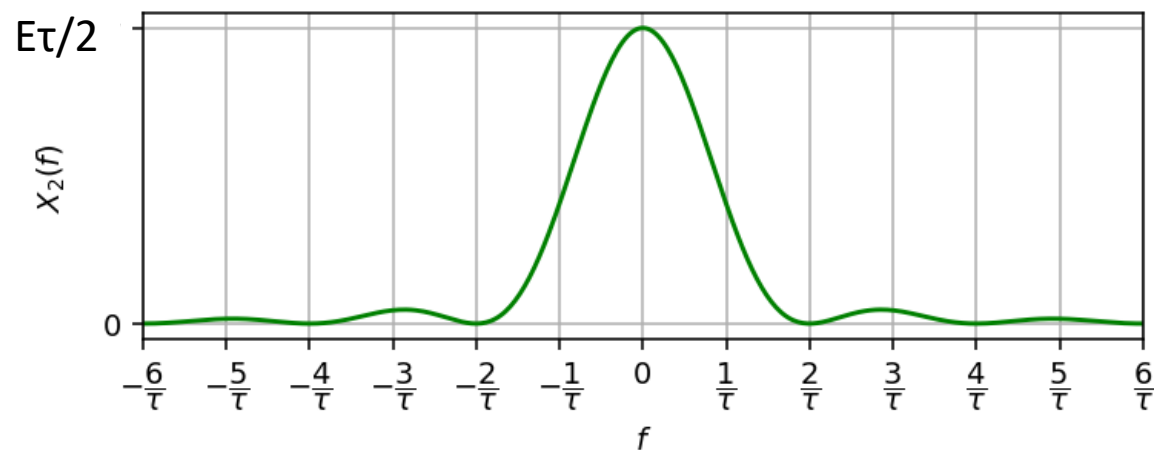
$$X_2(f) = \frac{1}{j2\pi f} \left(e^{j\pi f \tau/2} - e^{-j\pi f \tau/2} \right) \frac{2E}{\tau} \frac{\tau}{2} \frac{\sin(\pi f \tau/2)}{\pi f \tau/2} = \frac{E\tau}{2} \frac{\sin^2(\pi f \tau/2)}{(\pi f \tau/2)^2}$$

Симметричные прямоугольный и треугольный импульсы

Спектр прямоугольного импульса $X_1(f) = E\tau \frac{\sin(\pi f \tau)}{\pi f \tau}$.

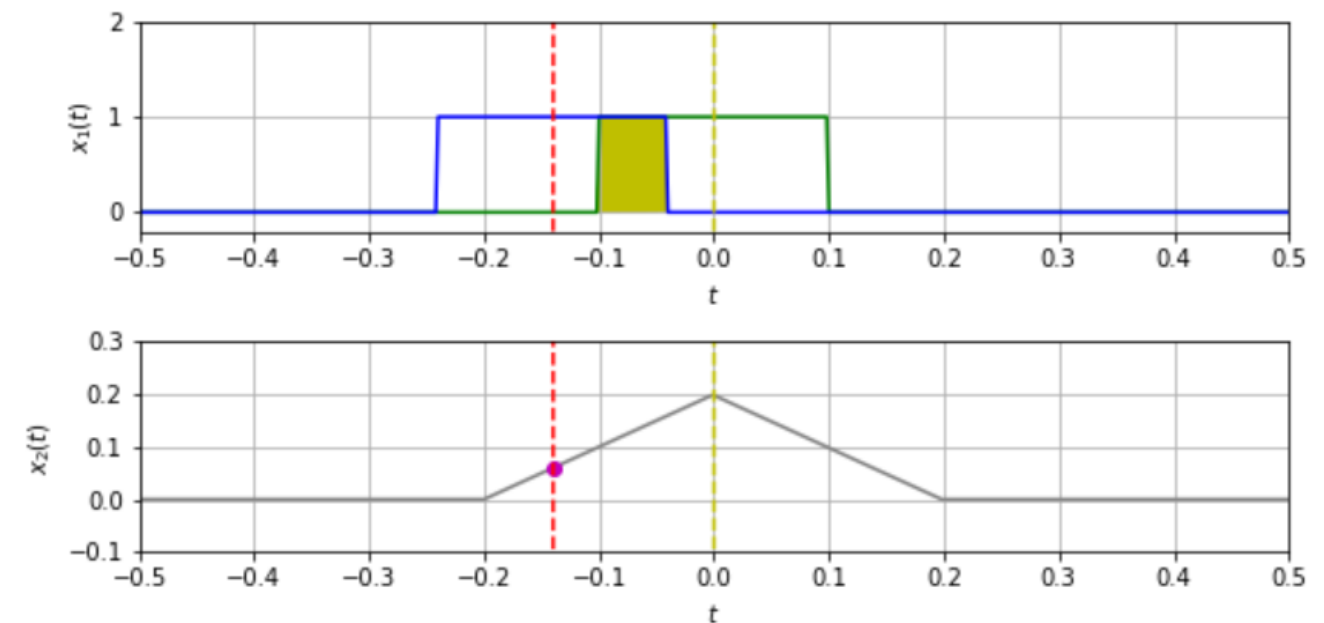


Спектр треугольного импульса $X_2(f) = \frac{E\tau}{2} \frac{\sin^2(\pi f \tau / 2)}{(\pi f \tau / 2)^2}$



Заметим, что ширина главного лепестка $X_2(f)$ в два раза больше, чем у $X_1(f)$.

Спектр треугольного импульса можно получить, используя теорему о свертке: если $x(t) \xleftrightarrow{FT} X(f)$ и $y(t) \xleftrightarrow{FT} Y(f)$, то $\int_{-\infty}^{\infty} x(\tau)y(t-\tau)d\tau \xleftrightarrow{FT} X(f)Y(f)$. Треугольный импульс можно рассматривать как свертку двух прямоугольных соответствующей высоты с длительностью $\tau/2$.



Окно Ханна.

Определим спектр $W_H(f)$ аналогового окна Ханна длительностью τ .

$$w_H(t) = \begin{cases} \frac{1}{2} \left(1 + \cos\left(\frac{2\pi t}{\tau}\right) \right), & \text{если } |t| < \frac{\tau}{2}, \\ 0, & \text{если } |t| \geq \frac{\tau}{2}. \end{cases}$$

Способ 1.

Пусть $w(t)$ — прямоугольное окно той же длительности.

$$w_H(t) = \frac{1}{2} w(t) + \frac{1}{4} w(t) \exp\left(j2\pi t \frac{1}{\tau}\right) + \frac{1}{4} w(t) \exp\left(-j2\pi t \frac{1}{\tau}\right).$$

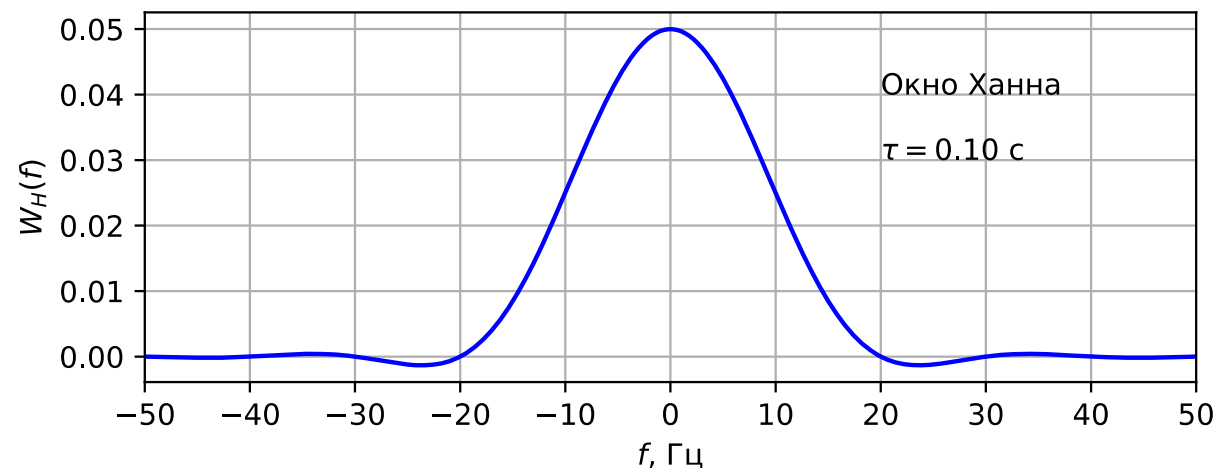
Тогда по теореме смещения для преобразования Фурье

$$W_H(f) = \frac{1}{2} W(f) + \frac{1}{4} W\left(f - \frac{1}{\tau}\right) + \frac{1}{4} W\left(f + \frac{1}{\tau}\right).$$

Далее остается подставить $W(f)$.

$$W_H(f) = \frac{\sin(\pi f \tau)}{2\pi f (1 - \tau^2 f^2)}.$$

Ханна



Способ 2.

Рассмотрим сигнал $x(t) = \frac{1}{2} \left(1 + \cos\left(\frac{2\pi t}{\tau}\right) \right)$.

Его спектр $X(f) = \frac{1}{2} \delta(f) + \frac{1}{4} \delta\left(f - \frac{1}{\tau}\right) + \frac{1}{4} \delta\left(f + \frac{1}{\tau}\right)$.

При этом $w_H(t) = w(t)x(t)$ и $W_H(f) = W(f) \otimes X(f)$.

Используя фильтрующее свойство δ -функции, получаем

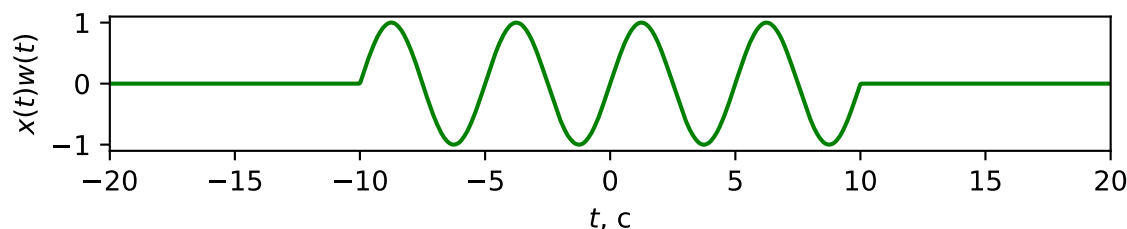
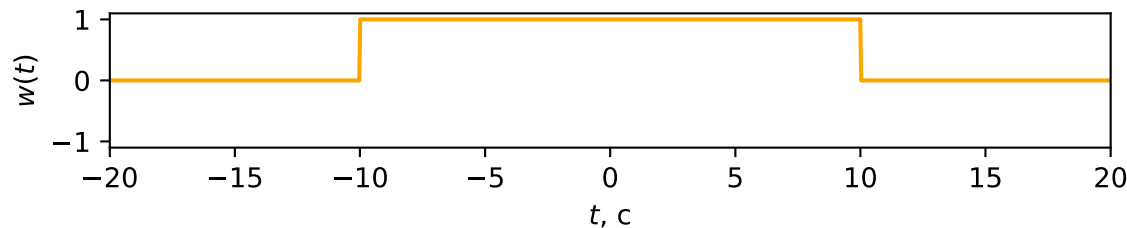
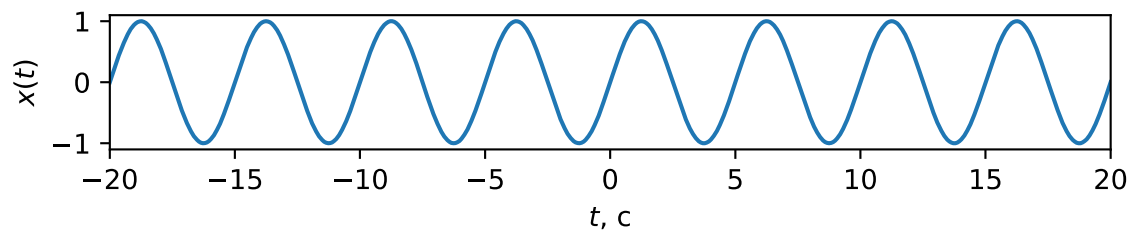
$$W_H(f) = \frac{1}{2} W(f) + \frac{1}{4} W\left(f - \frac{1}{\tau}\right) + \frac{1}{4} W\left(f + \frac{1}{\tau}\right).$$

Эффект растекания спектральных компонент

Эффект растекания спектральных компонент при ограничении длительности сигнала

Ограничение сигнала по длительности эквивалентно умножению на прямоугольную оконную функцию:

$$y(t) = w(t)x(t).$$



Пусть $x(t) \xleftrightarrow{FT} X(f)$, $w(t) \xleftrightarrow{FT} W(f)$, $y(t) \xleftrightarrow{FT} Y(f)$. Тогда

$$w(t)x(t) \xleftrightarrow{FT} \int_{-\infty}^{\infty} W(\tilde{f})X(f - \tilde{f})d\tilde{f}.$$

Пример. Гармонический сигнал $x(t)$ имеет вид

$$x(t) = \cos(2\pi f_1 t) + 3\cos(2\pi f_2 t)$$

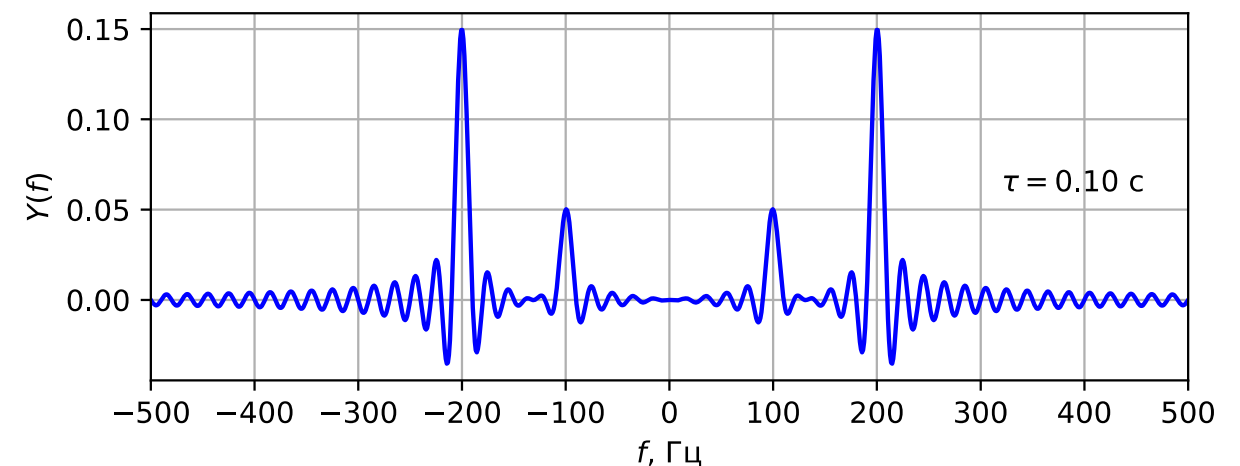
где $f_1 = 100$ Гц, $f_2 = 200$ Гц. Определить, какой вид будет иметь спектр для $x(t)w(t)$, где $w(t)$ — некоторая оконная функция.

Решение. Пусть $x(t) \xleftrightarrow{FT} X(f)$, $w(t) \xleftrightarrow{FT} W(f)$, $y(t) \xleftrightarrow{FT} Y(f)$. Тогда

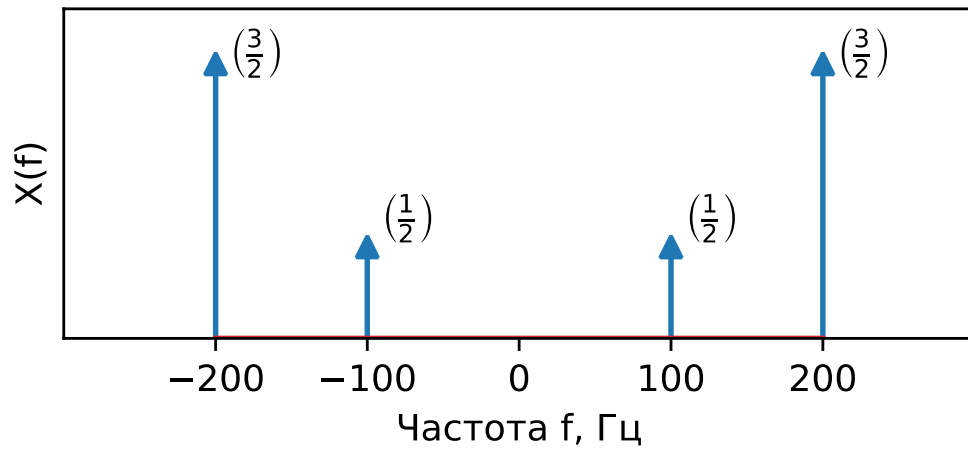
$$X(f) = \frac{1}{2}\delta(f - f_1) + \frac{1}{2}\delta(f + f_1) + \frac{3}{2}\delta(f - f_2) + \frac{3}{2}\delta(f + f_2).$$

$$w(t)x(t) \xleftrightarrow{FT} \int_{-\infty}^{\infty} W(\tilde{f})X(f - \tilde{f})d\tilde{f}.$$

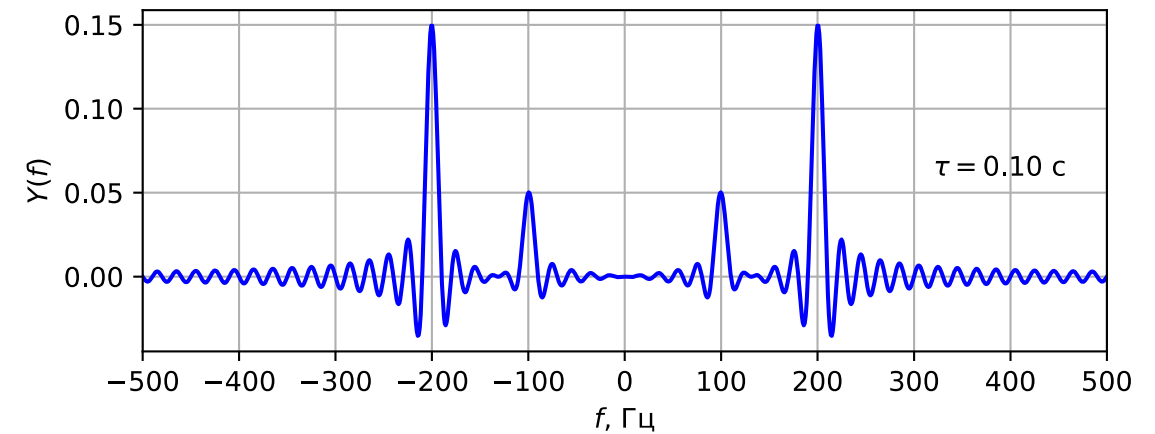
$$Y(f) = \frac{1}{2}W(f - f_1) + \frac{1}{2}W(f + f_1) + \frac{3}{2}W(f - f_2) + \frac{3}{2}W(f + f_2).$$



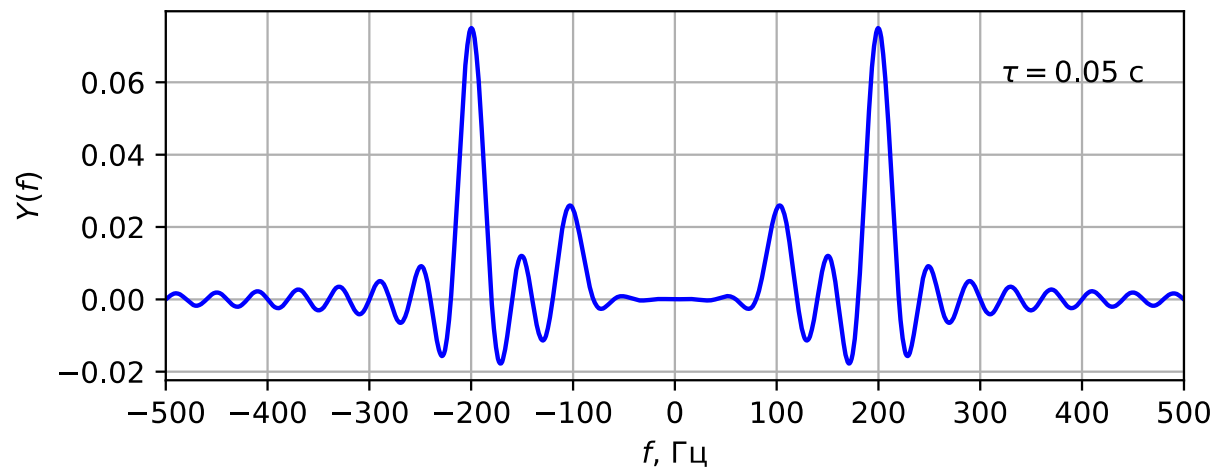
Эффект растекания спектральных компонент



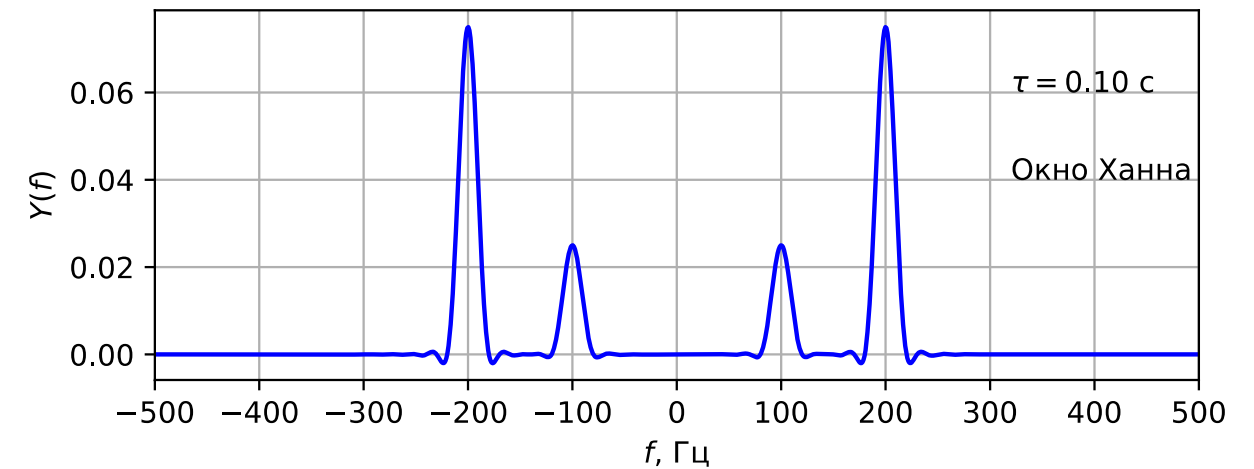
$w(t)$ - прямоугольное окно длиной $\tau = 0,1$ с.



$w(t)$ - прямоугольное окно длиной $\tau = 0,05$ с.



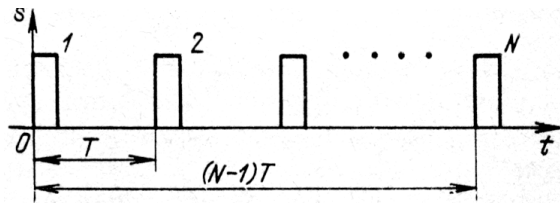
$w(t)$ - окно Ханна длиной $\tau = 0,1$ с.



Спектр пачки равноотстоящих импульсов

Спектр пачки равноотстоящих импульсов

Найдём спектр пачки равноотстоящих импульсов. Для определённости возьмём пачку из N прямоугольных импульсов



Обозначим через $X_1(\omega)$ ($\omega = 2\pi f$) спектральную плотность первого импульса. Тогда для группы из N равноотстоящих импульсов в соответствии с теоремой запаздывания

$$X(\omega) = X_1(\omega)[1 + e^{-j\omega T} + e^{-j\omega 2T} + \dots + e^{-j\omega(N-1)T}] = X_1(\omega) \sum_{k=0}^{N-1} e^{-j\omega kT}.$$

Суммируя N членов геометрической прогрессии, получаем

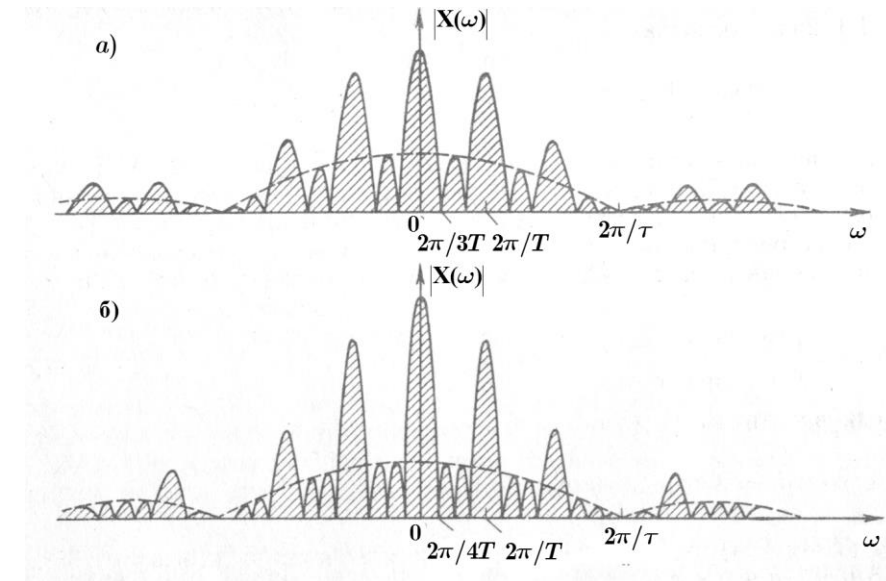
$$\begin{aligned} X(\omega) &= X_1(\omega) \frac{1 - e^{-j\omega NT}}{1 - e^{-j\omega T}} = X_1(\omega) \frac{e^{-j\omega NT/2} (e^{j\omega NT/2} - e^{-j\omega NT/2})}{e^{-j\omega T/2} (e^{j\omega T/2} - e^{-j\omega T/2})} = \\ &= X_1(\omega) \frac{\sin \omega NT / 2}{\sin \omega T / 2} \exp\left(-j\omega \left(\frac{T}{2}(N-1)\right)\right). \end{aligned}$$

Видно, что на частотах $\omega = m2\pi / NT$, где m – целое, $X(\omega) = 0$. Подставляя сюда значение

$$X_1(\omega) = E\tau \frac{\sin \omega \tau / 2}{\omega \tau / 2} \exp\left(-j\omega \frac{\tau}{2}\right),$$

где τ – длительность отдельного импульса, получаем окончательно для спектра пачки из N равноотстоящих прямоугольных импульсов:

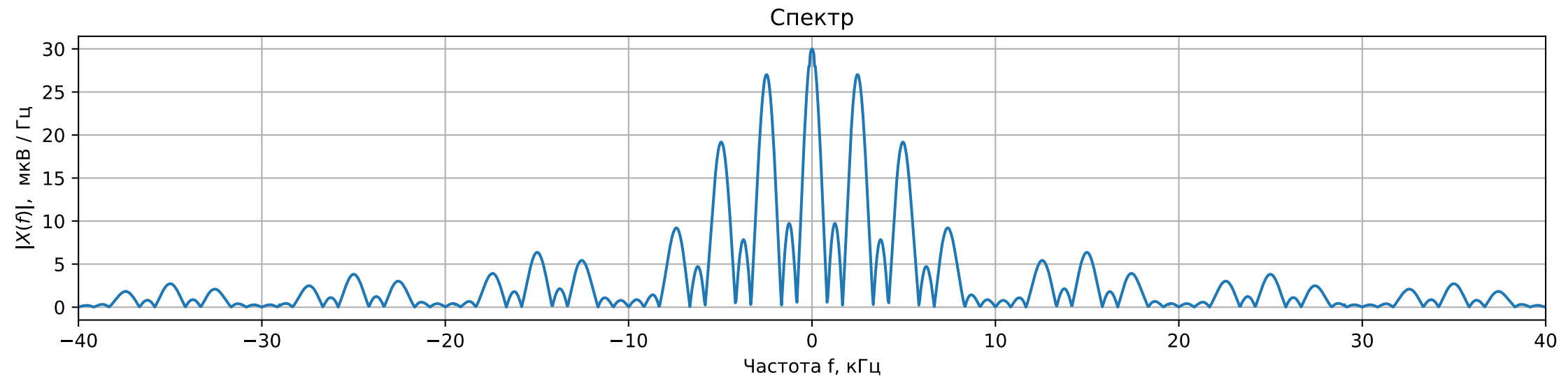
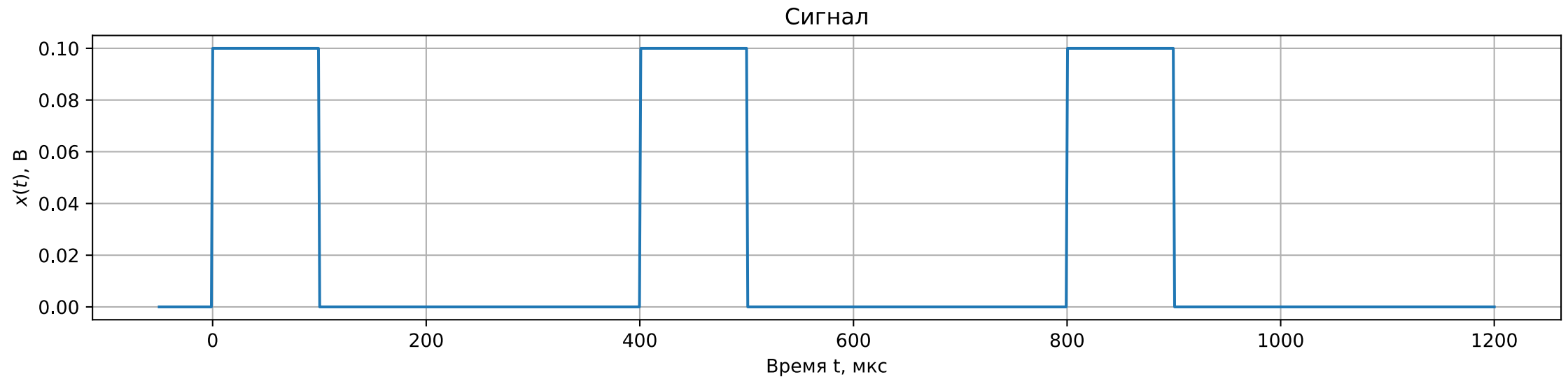
$$X(\omega) = \exp\left(-j\omega \left(\frac{T}{2}(N-1) + \frac{\tau}{2}\right)\right) E\tau \frac{\sin \omega \tau / 2}{\omega \tau / 2} \frac{\sin \omega NT / 2}{\sin \omega T / 2}.$$



Модуль спектра пачки прямоугольных импульсов: а – три импульса в пачке, б – четыре импульса в пачке. интервал между соседними импульсами $T = 3\tau$. Пунктиром изображён модуль спектра одиночного импульса

Спектр пачки равноотстоящих импульсов

$$X(f) = \exp\left(-j\omega\left(\frac{T}{2}(N-1) + \frac{\tau}{2}\right)\right) E\tau \frac{\sin(\pi\tau f)}{\pi\tau f} \frac{\sin(\pi N T f)}{\sin(\pi T f)}, \quad T = 400 \text{ мкс}, \tau = 100 \text{ мкс}, N = 3. \quad \frac{1}{\tau} = 10 \text{ кГц}, \frac{1}{T} = 2,5 \text{ кГц}.$$



Частотные характеристики сигнала, симметрия спектра

Частотные характеристики сигнала

В общем случае спектральная плотность $X(f)$ – комплексная функция частоты:

$$X(f) = \int_{-\infty}^{\infty} x(t) \exp(-j2\pi f t) dt,$$

$$X(f) = \operatorname{Re} X(f) + j \operatorname{Im} X(f) = |X(f)| e^{j\varphi(f)},$$

где

$$\operatorname{Re} X(f) = \int_{-\infty}^{\infty} x(t) \cos 2\pi f t dt,$$

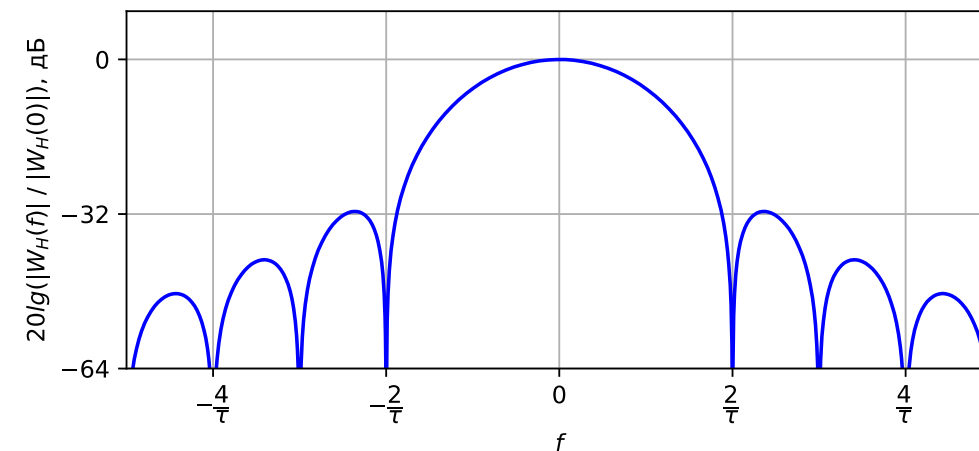
$$\operatorname{Im} X(f) = - \int_{-\infty}^{\infty} x(t) \sin 2\pi f t dt,$$

$|X(f)|$ – амплитудно-частотная характеристика (АЧХ),

$\varphi(f) = \operatorname{arctg} \frac{\operatorname{Im} X(f)}{\operatorname{Re} X(f)}$ – фазочастотная характеристика (ФЧХ).

АЧХ в децибелах (дБ) измеряется относительно некоторого значения. Для окон обычно требуется определить уровень на частоте f относительно главного лепестка:

$$20 \lg \left| \frac{W(f)}{W(0)} \right| = 10 \lg \frac{|W(f)|^2}{|W(0)|^2}.$$



Свойства симметрии спектра реального сигнала

Для действительного сигнала

$$X(f) = X^*(-f).$$

Это означает, что для действительного сигнала $\operatorname{Re} X(f)$ и $|X(f)|$ – чётные функции, а $\operatorname{Im} X(f)$ и $\varphi(f)$ – нечётные функции частоты. Если в дополнение к этому $x(t)$ – чётная функция, то

$$X(f) = X(-f),$$

т. е. спектральная плотность является действительной и чётной функцией частоты f .